



Hombre de 84 años que ha residido 20 años en país centroamericano. Adenopatía supraclavicular derecha de 2 cm.
Se realiza PAAF.

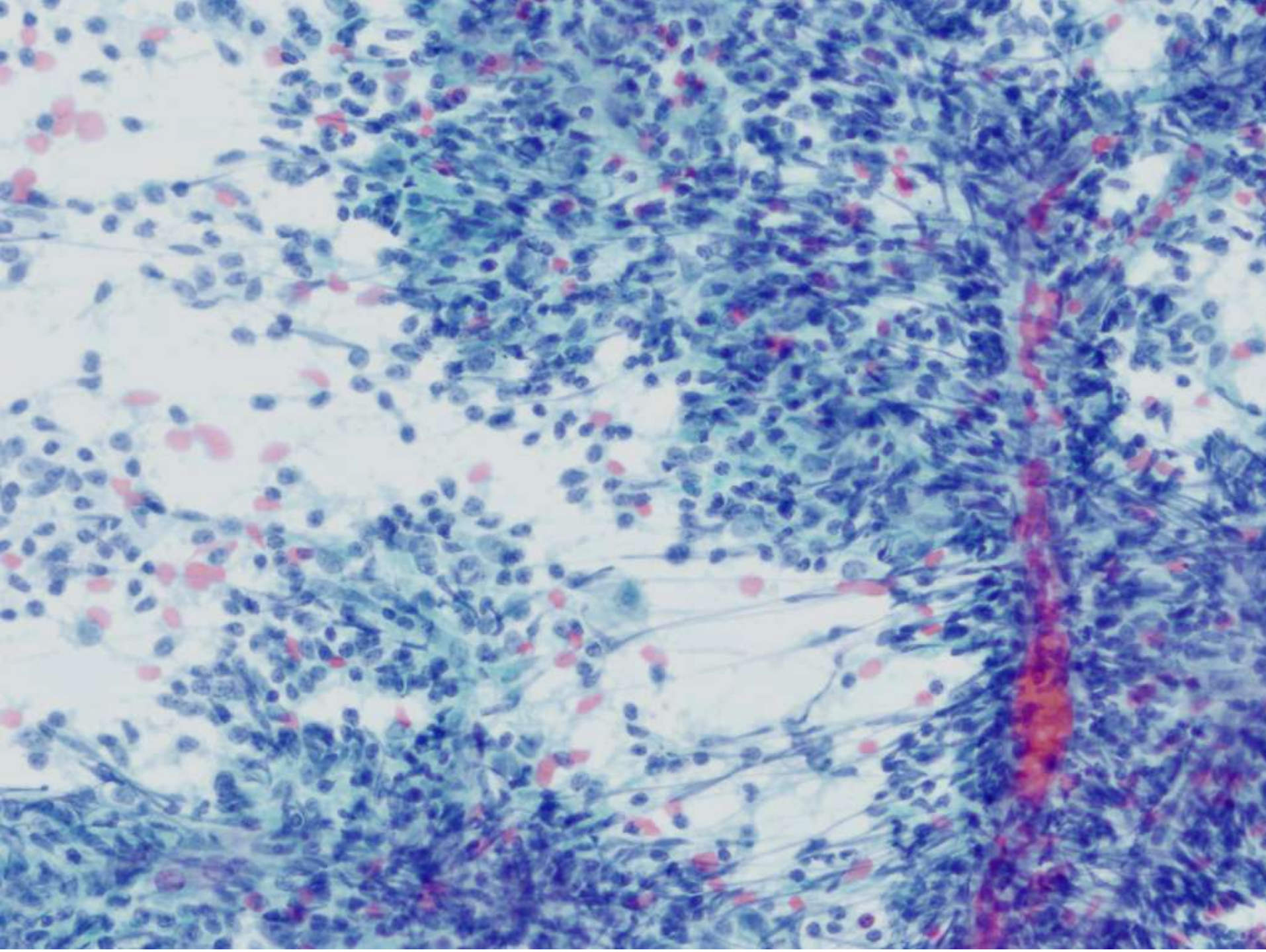


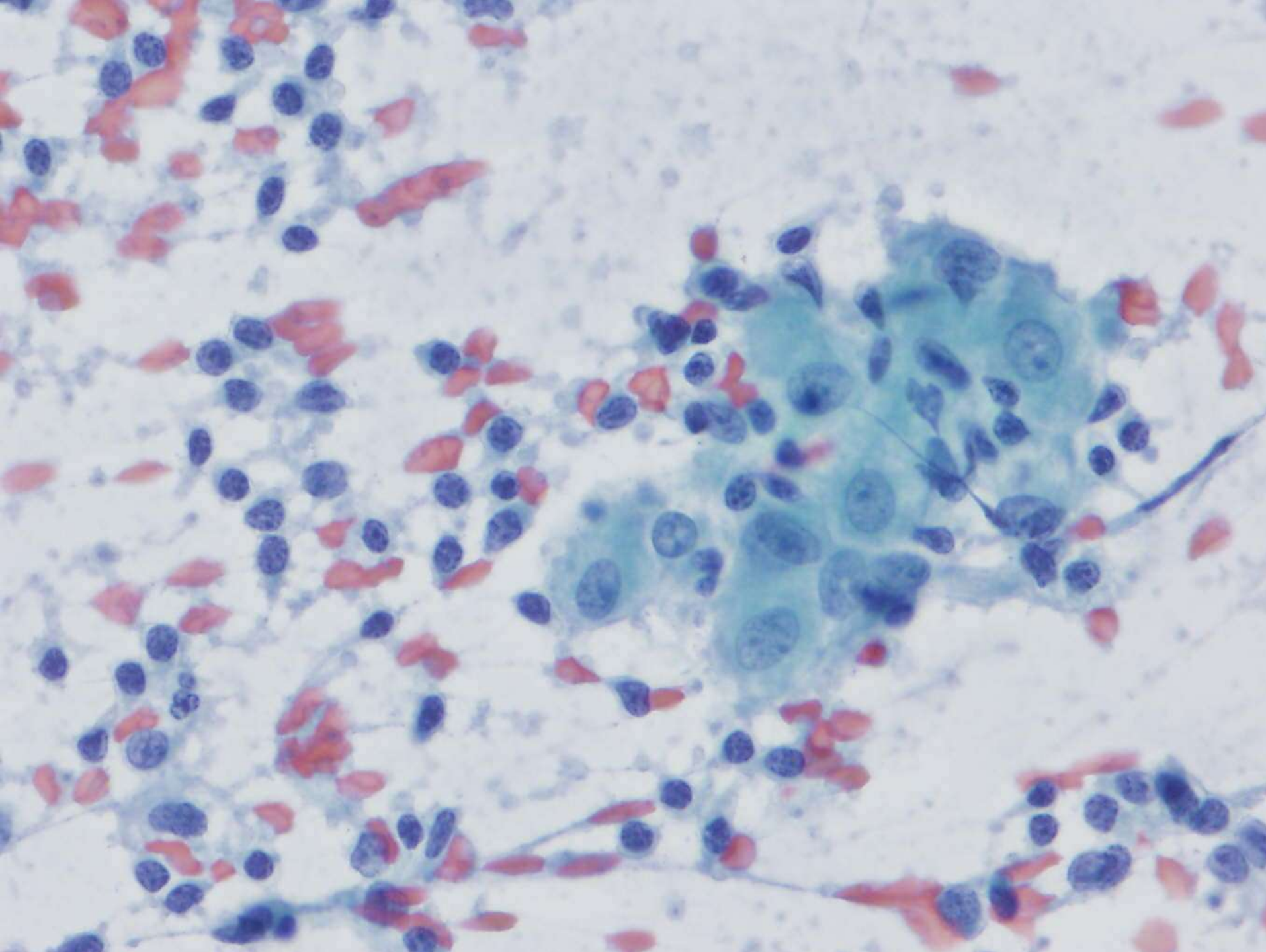
Javier Esquivias
Hospital Clínico San Cecilio. Granada

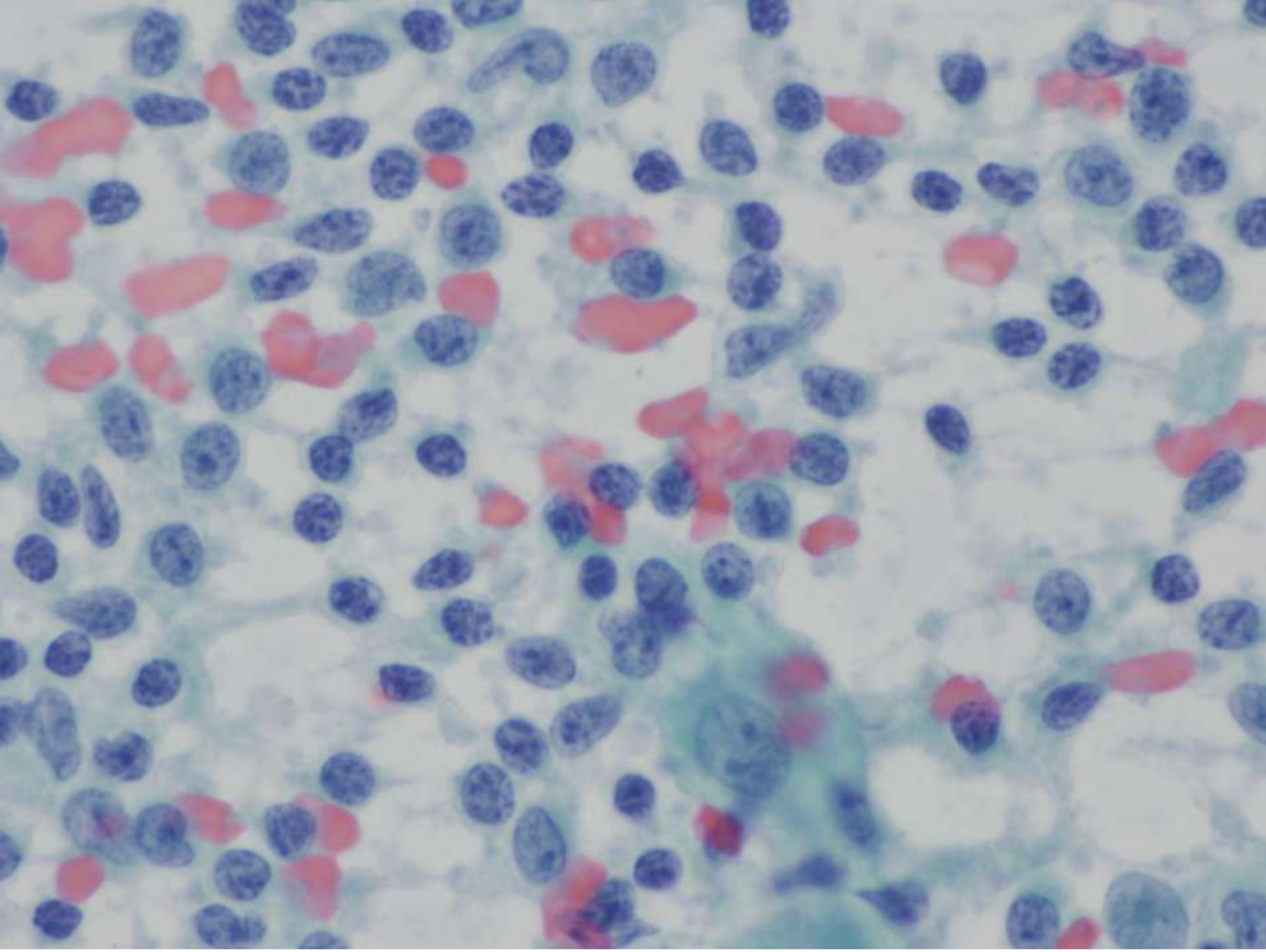
XXV Congreso de la Sociedad Española de Anatomía Patológica y División Española de la International Academy of Pathology

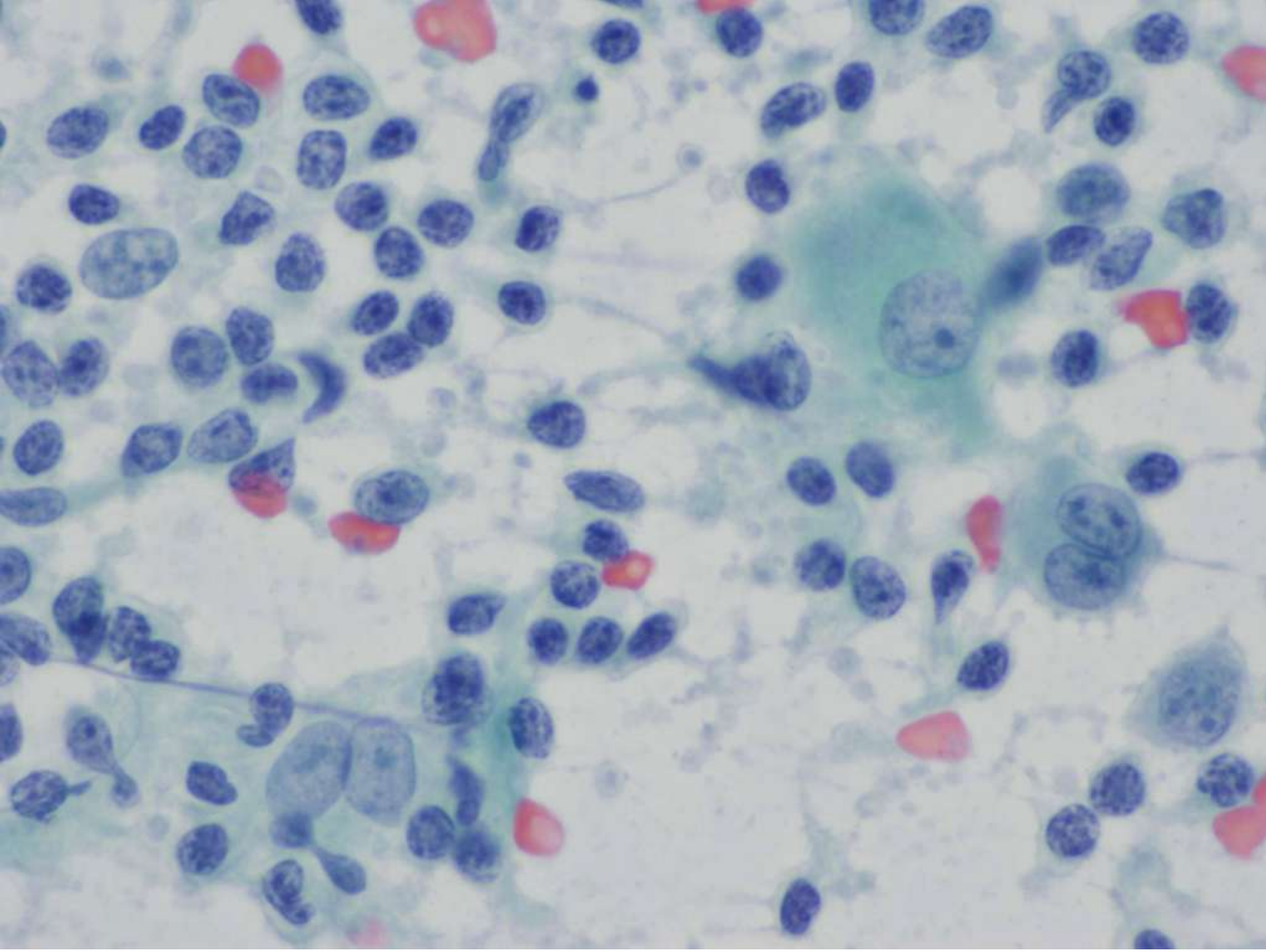
XX Congreso de la Sociedad Española de Citoología

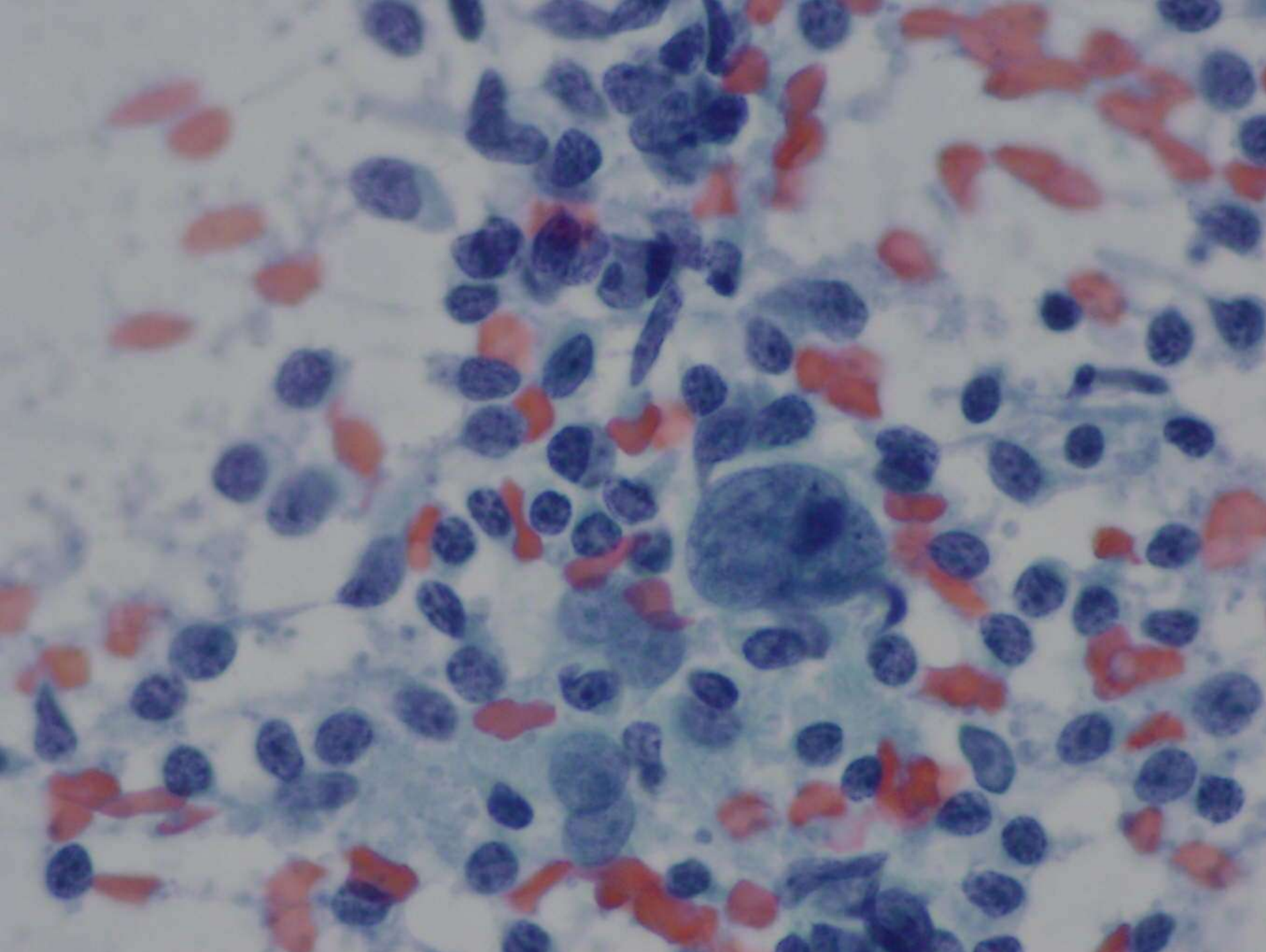
I Congreso de la Sociedad Española de Patología Forense





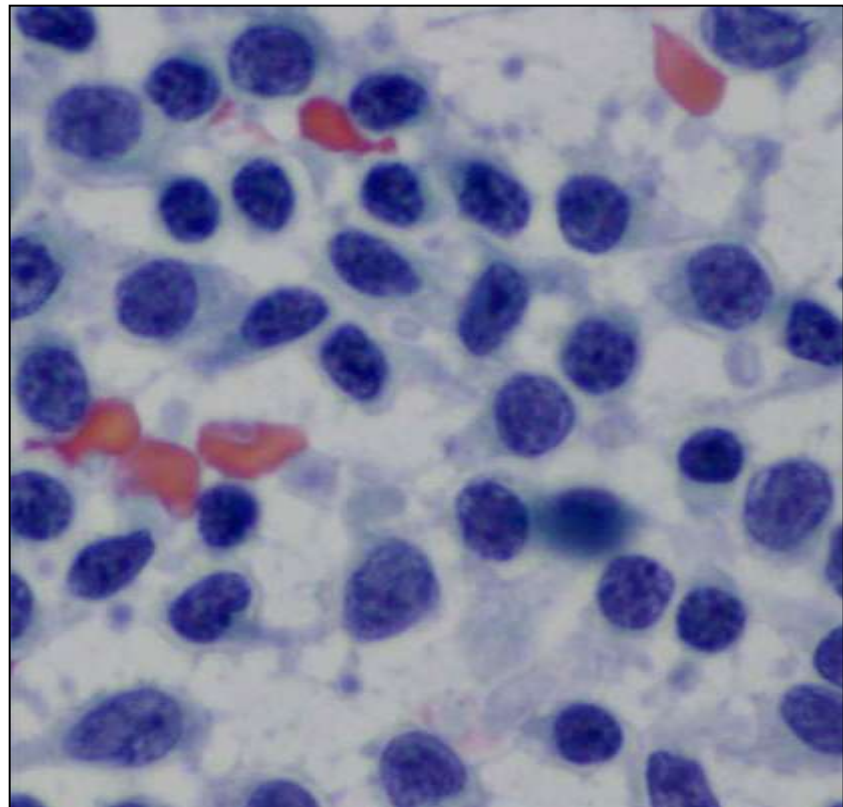
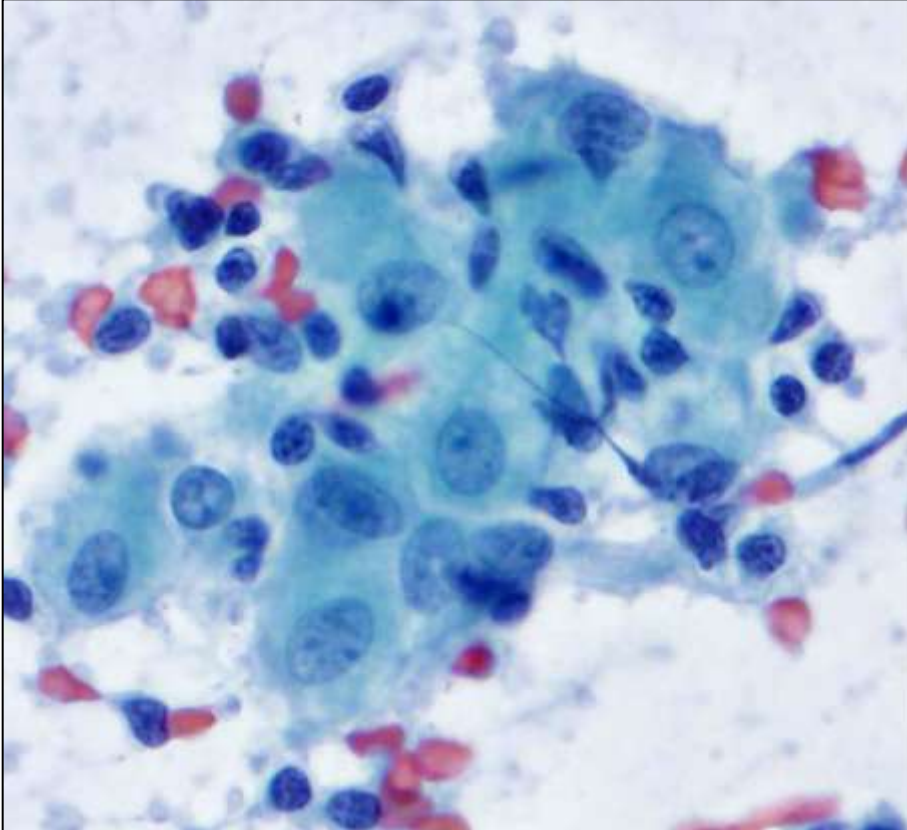


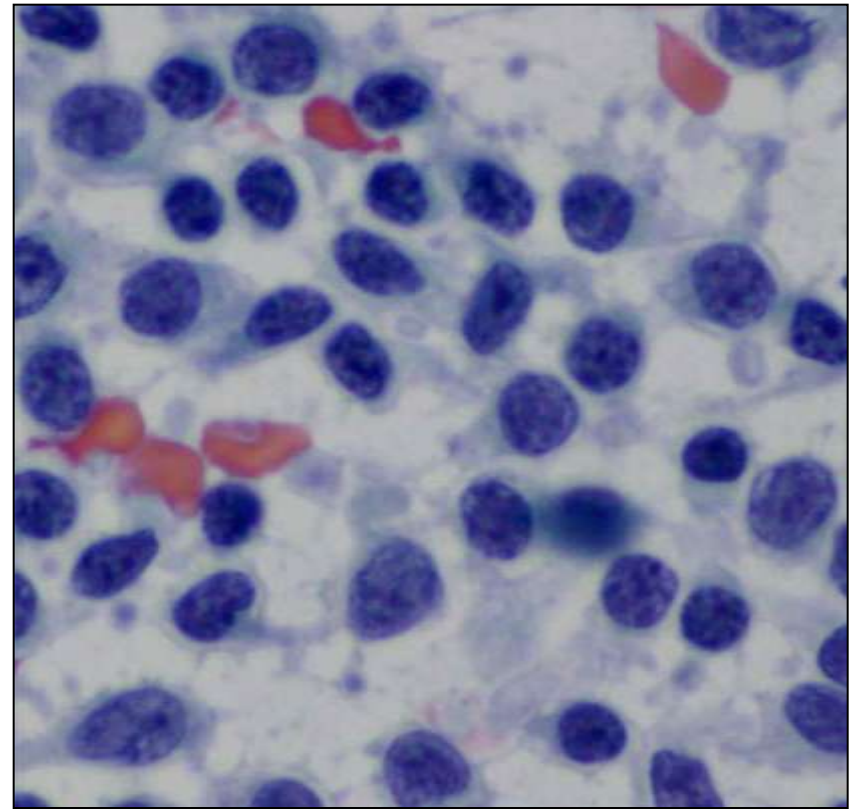
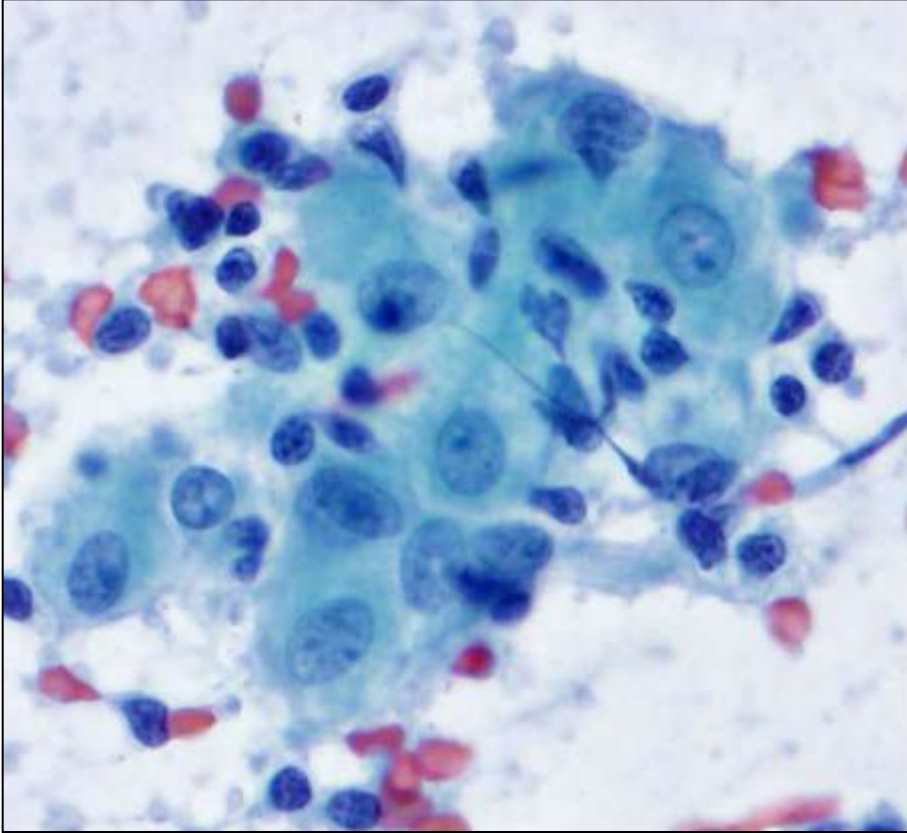






1. Linfoma de Hodgkin
2. Linfadenitis granulomatosa
3. Timoma ectópico
4. Linfoma no Hodgkin





CITOMETRÍA DE FLUJO:

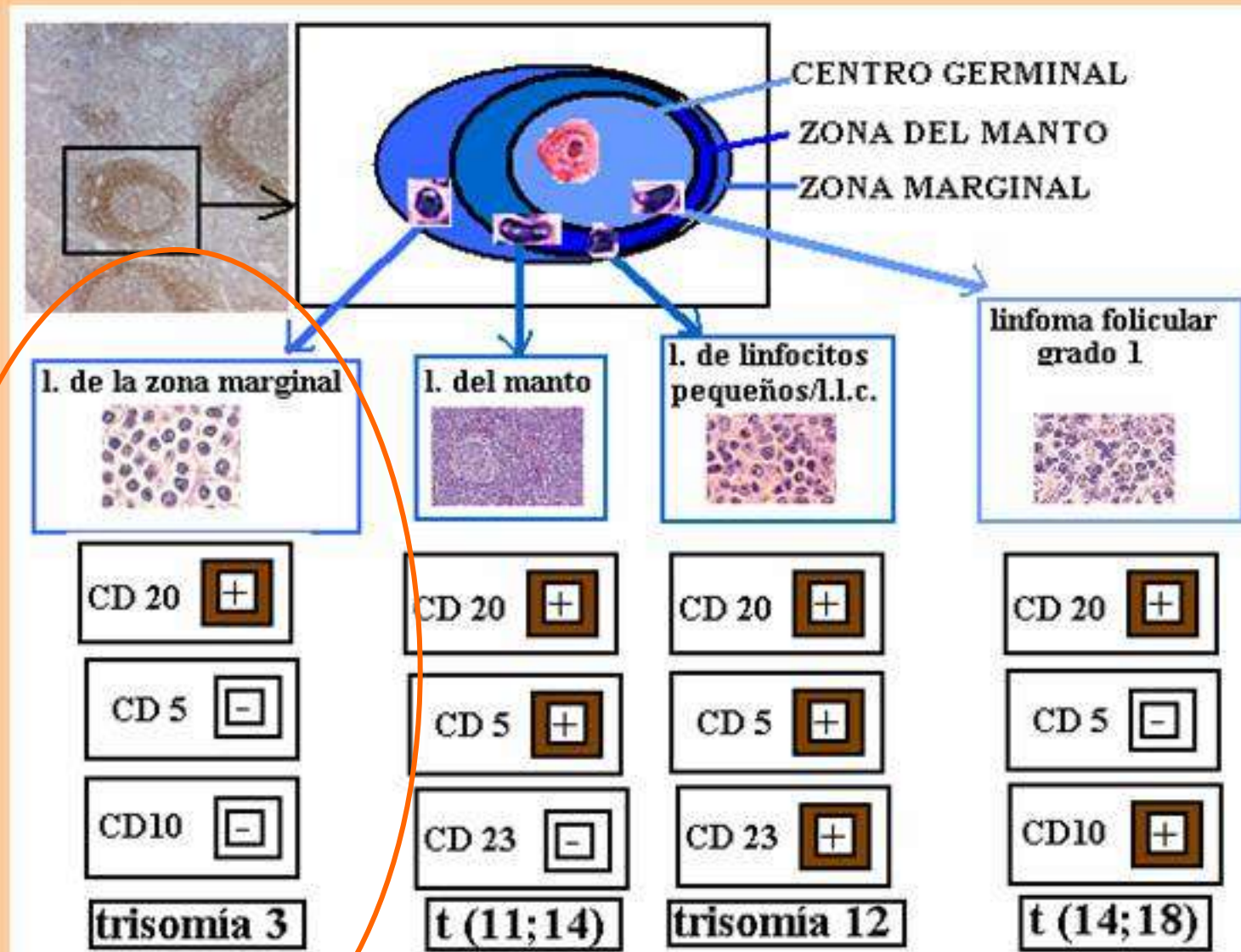
Linfocitos T: 38%; CD4: 32%; CD8: 9%

Linfocitos B: 60%

CD19+, CD5-, CD23-, CD10-, CD22+, CD20+, CD38-

IgS + monoclonal Lambda

Células pequeñas CD20+ CD3- : Diagnóstico diferencial

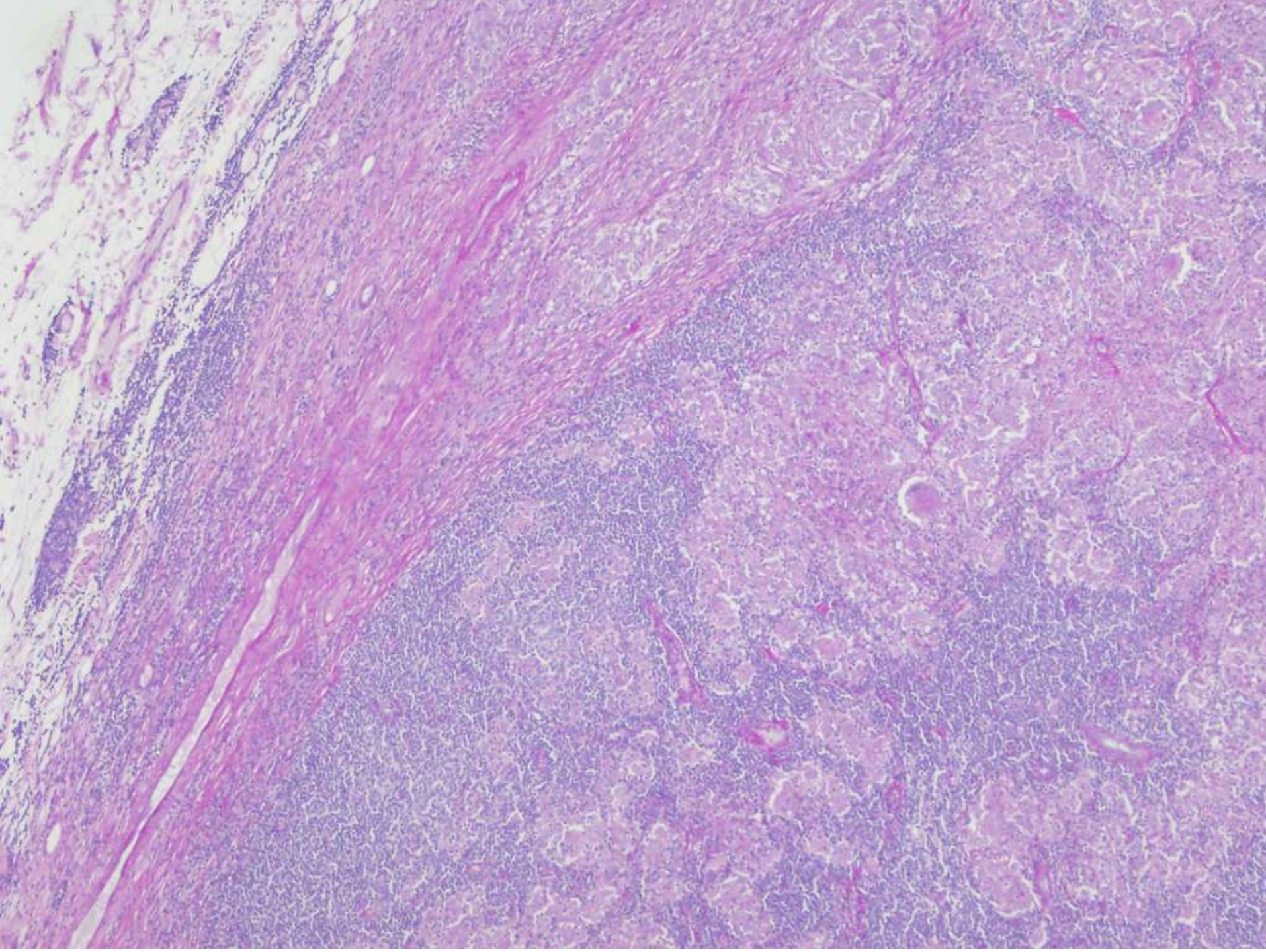


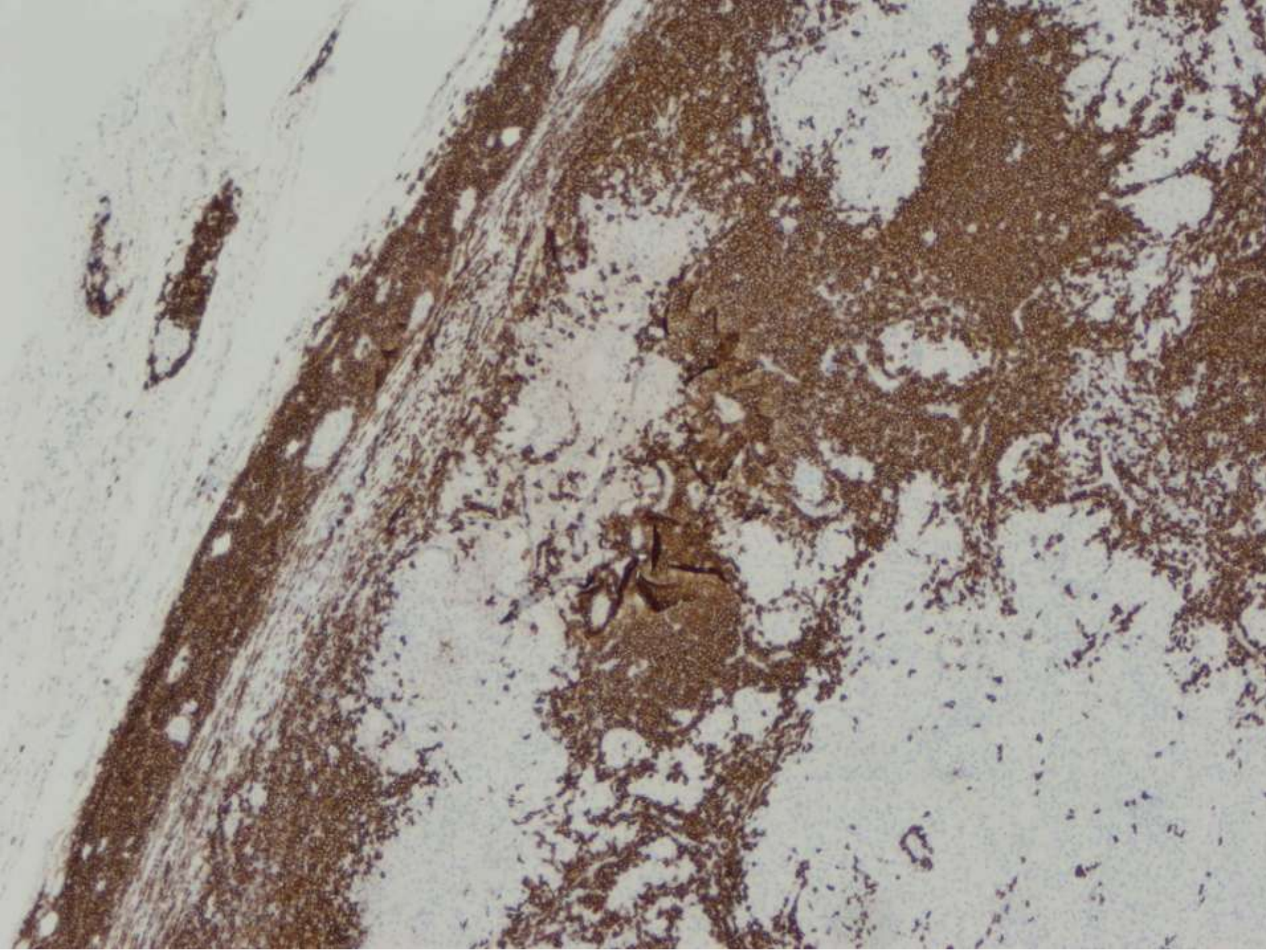


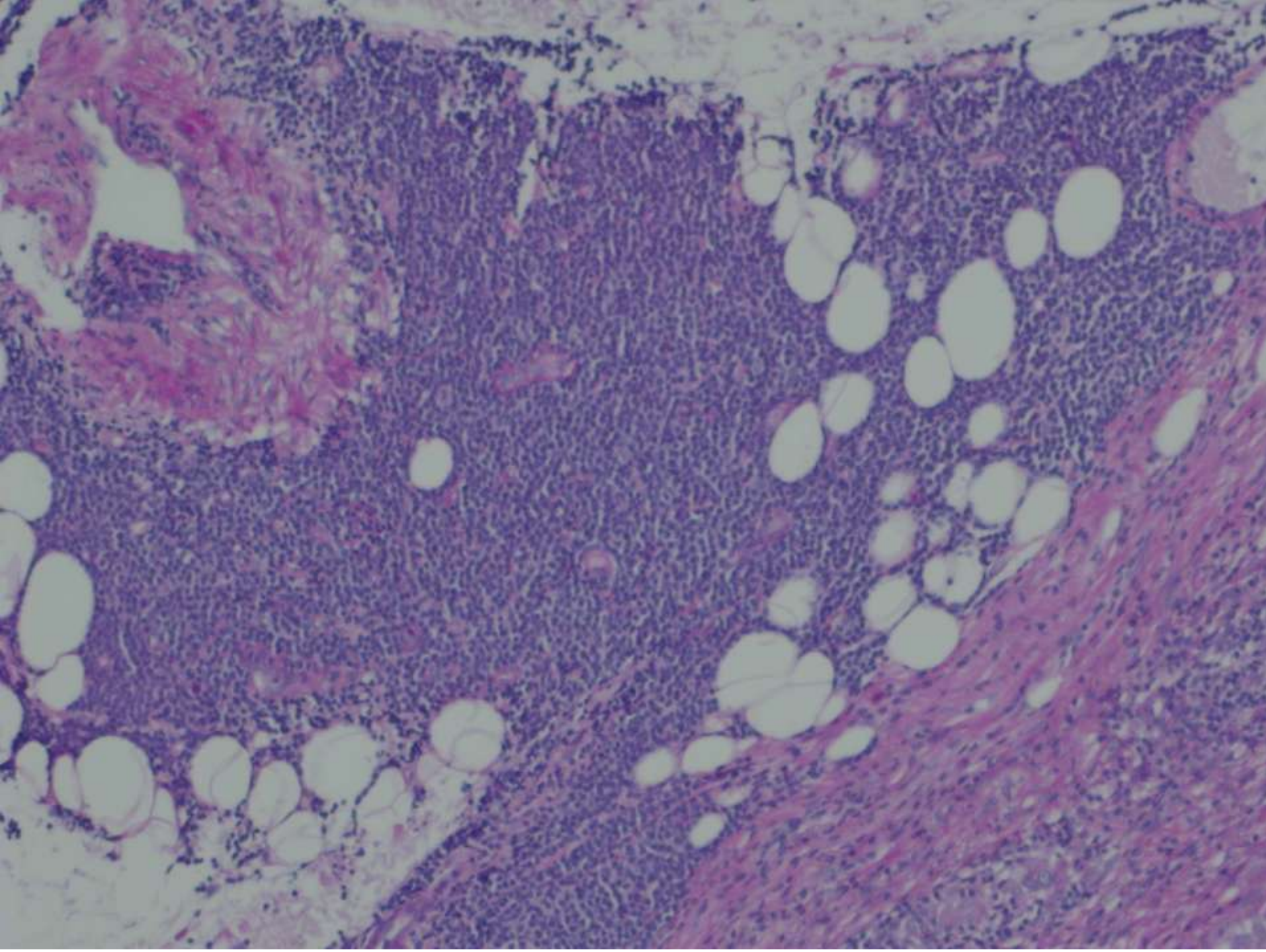
LINFOMA B DE BAJA TASA DE PROLIFERACION

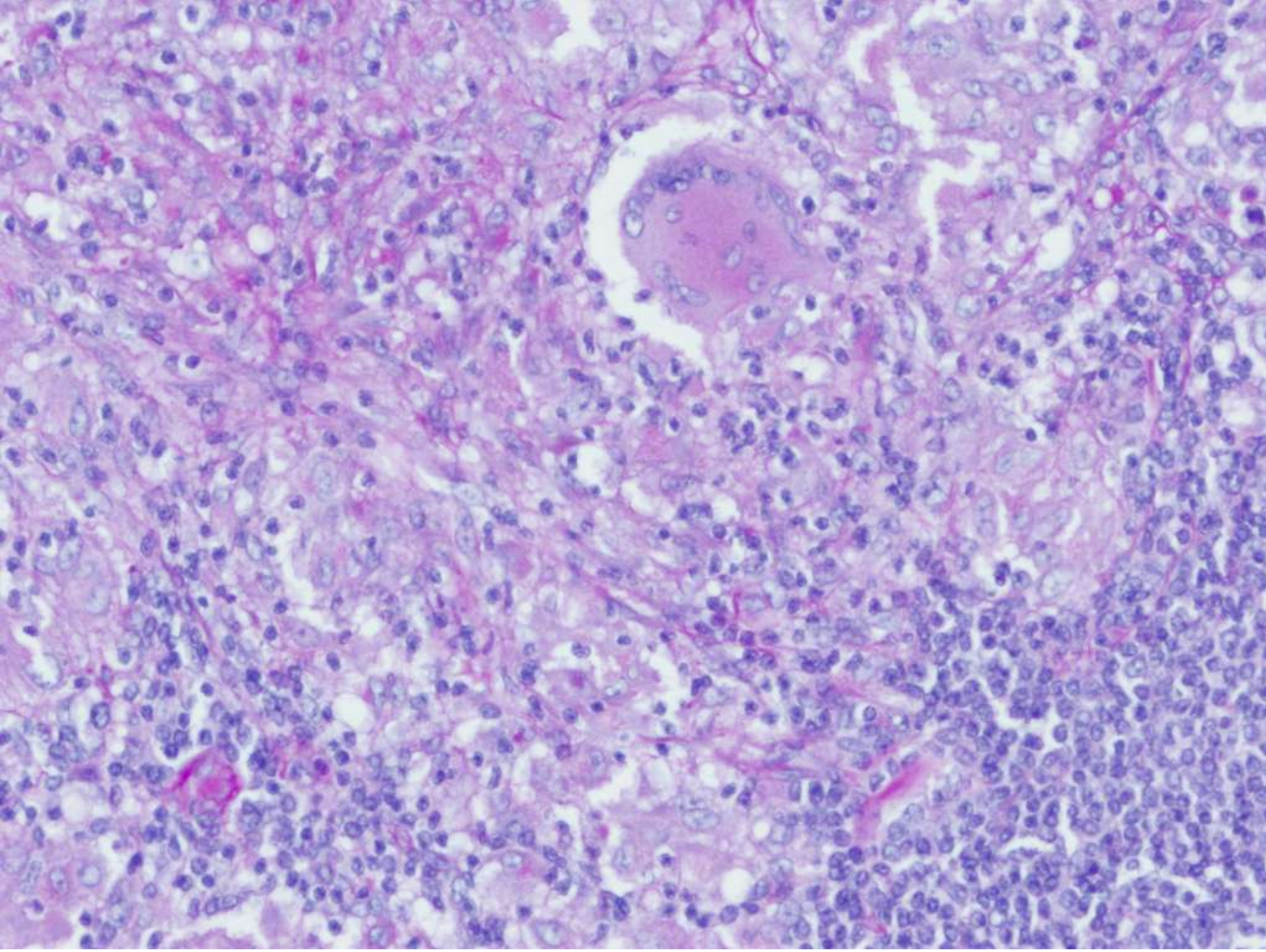
+

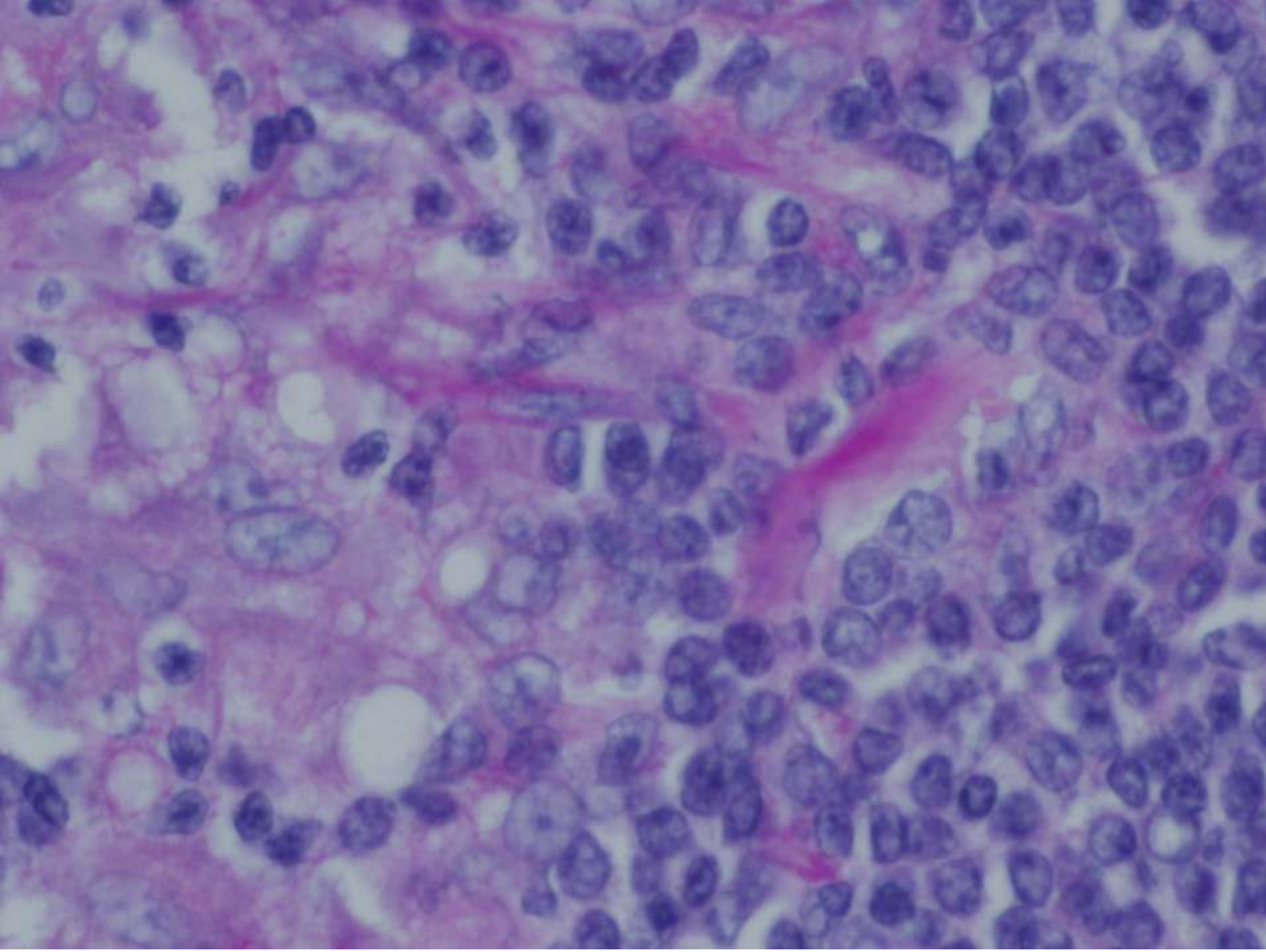
LINFOADENITIS GRANULOMATOSA



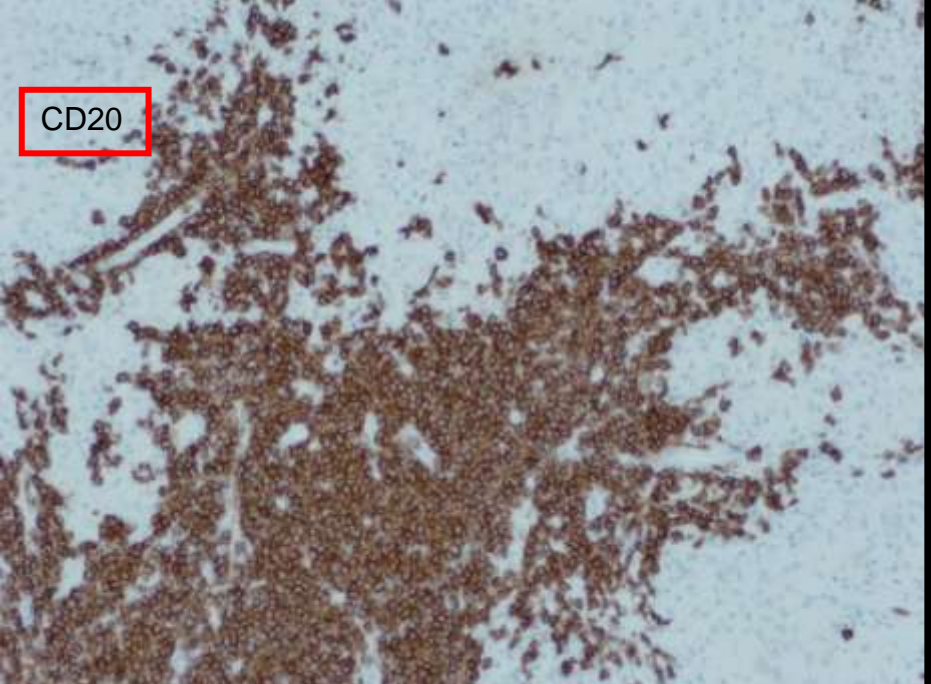




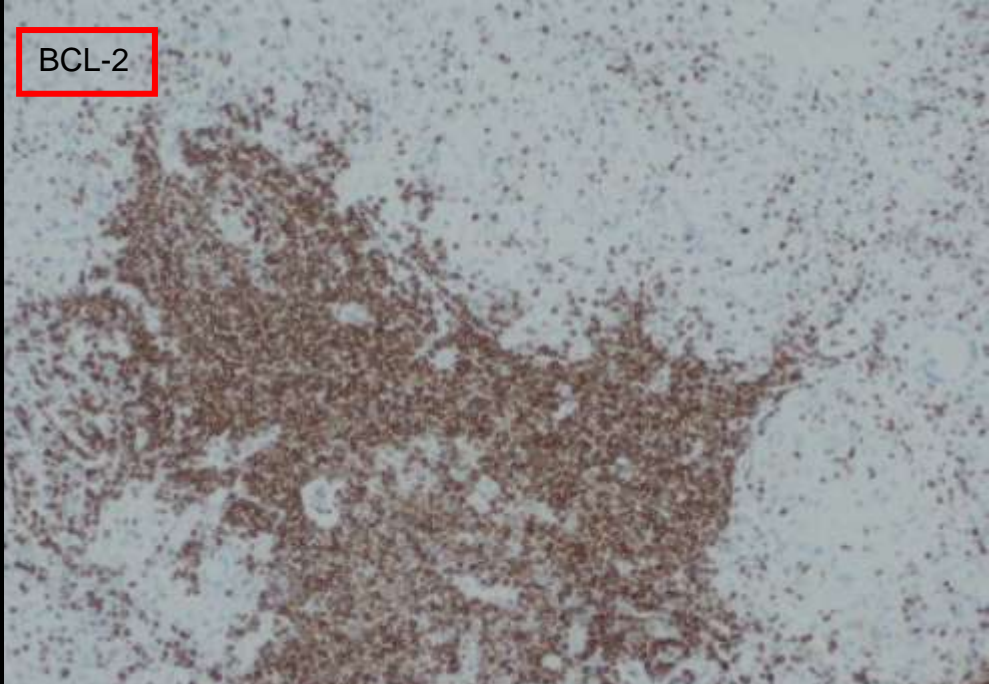




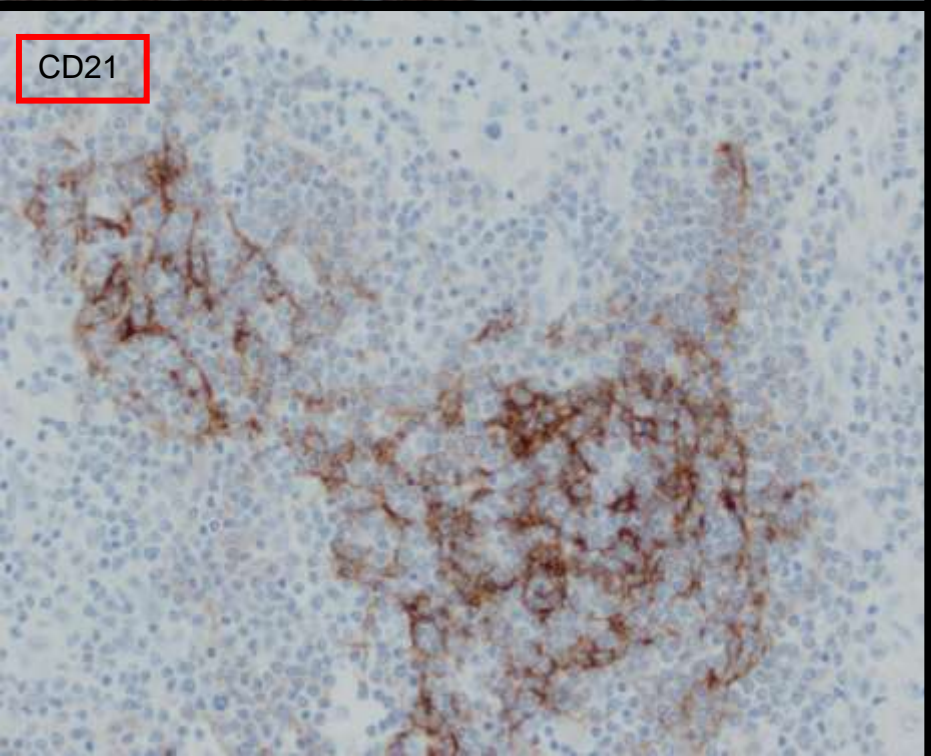
CD20



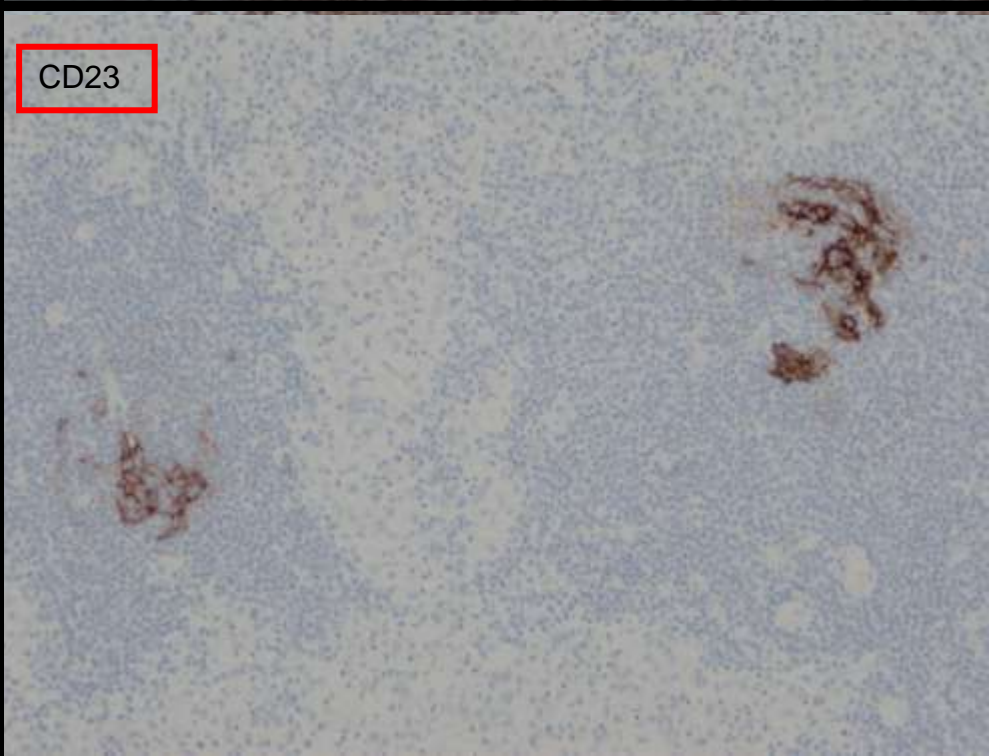
BCL-2



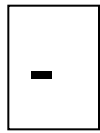
CD21



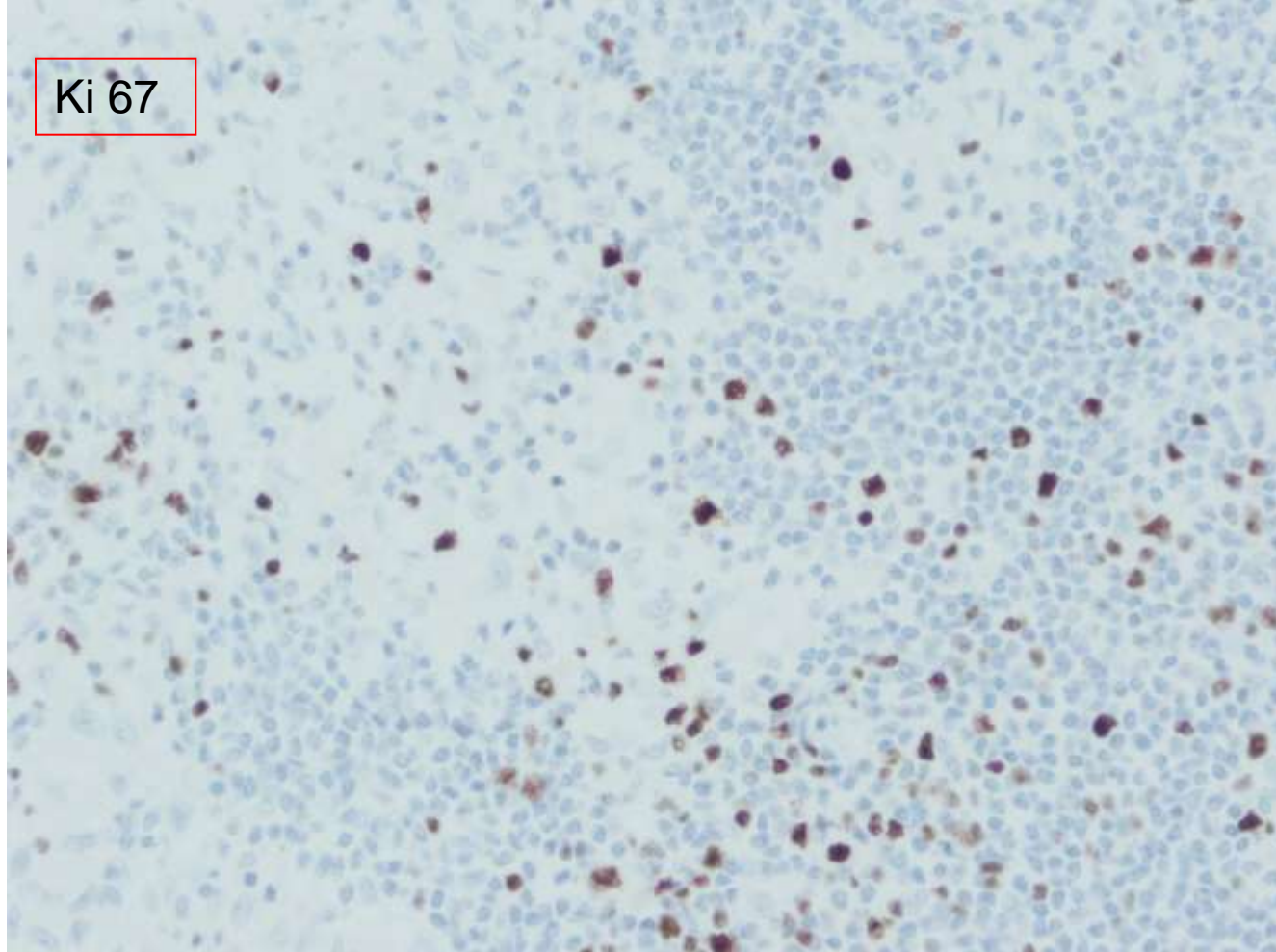
CD23



Ki 67

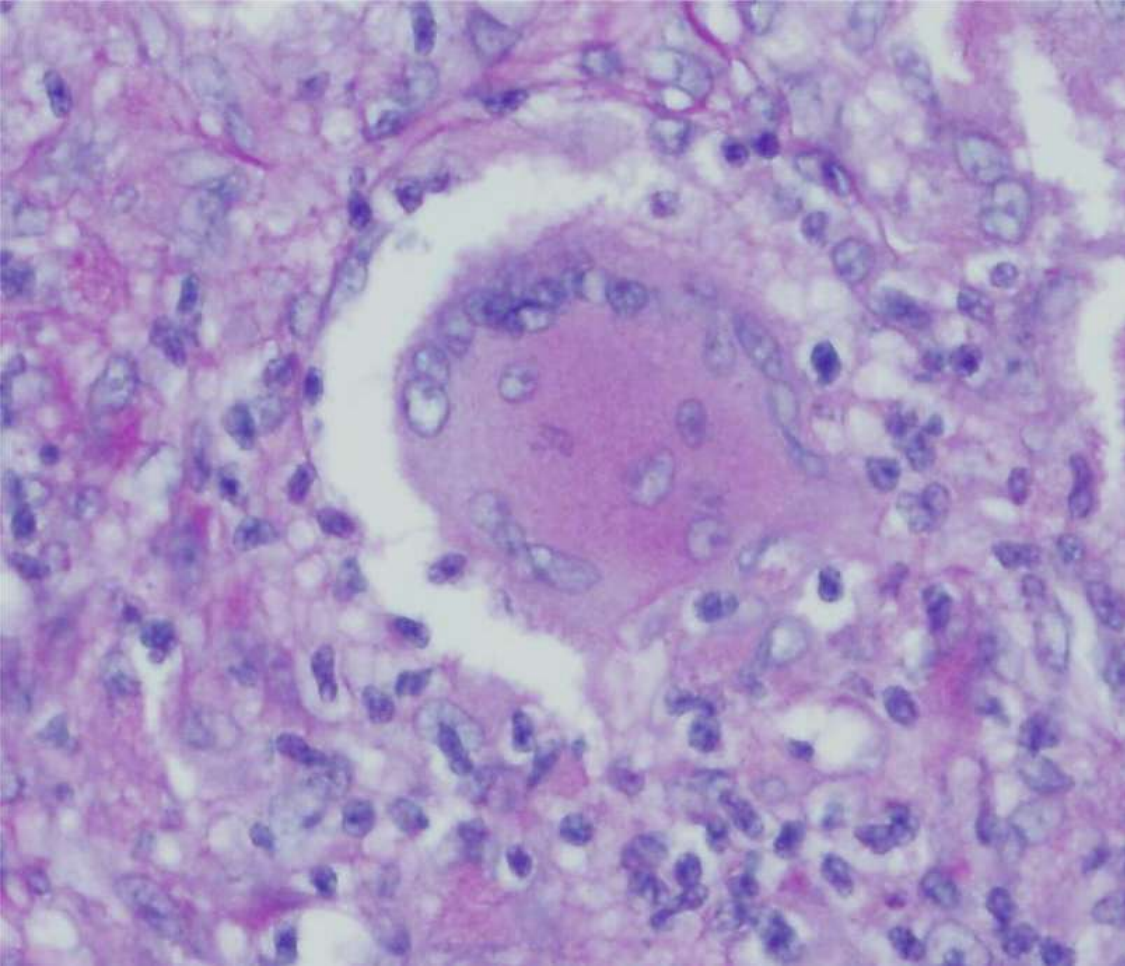


BCL-6
Ciclina-D1
MUM1
CD30
CD15
IgD



Reordenamiento
clonal del gen IgH

PCR



-

Ziehl-Nielsen

Bartonella henselae



LINFOMA B DEL AREA MARGINAL ASOCIADO A INTENSA REACCIÓN GRANULOMATOSA CONCOMITANTE



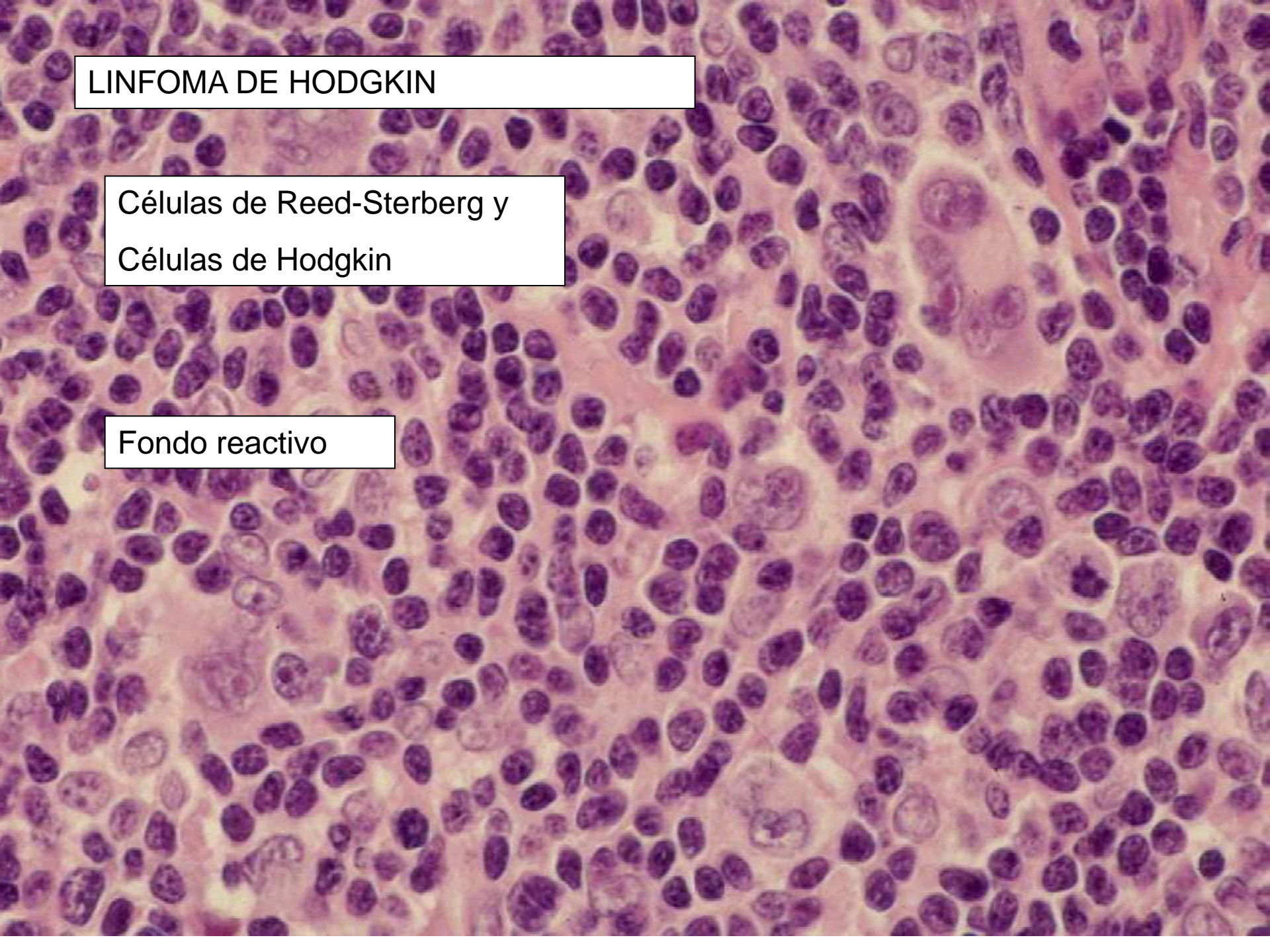
- 1. Linfoma de Hodgkin**
2. Linfadenitis granulomatosa
3. Timoma ectópico
4. Linfoma no Hodgkin

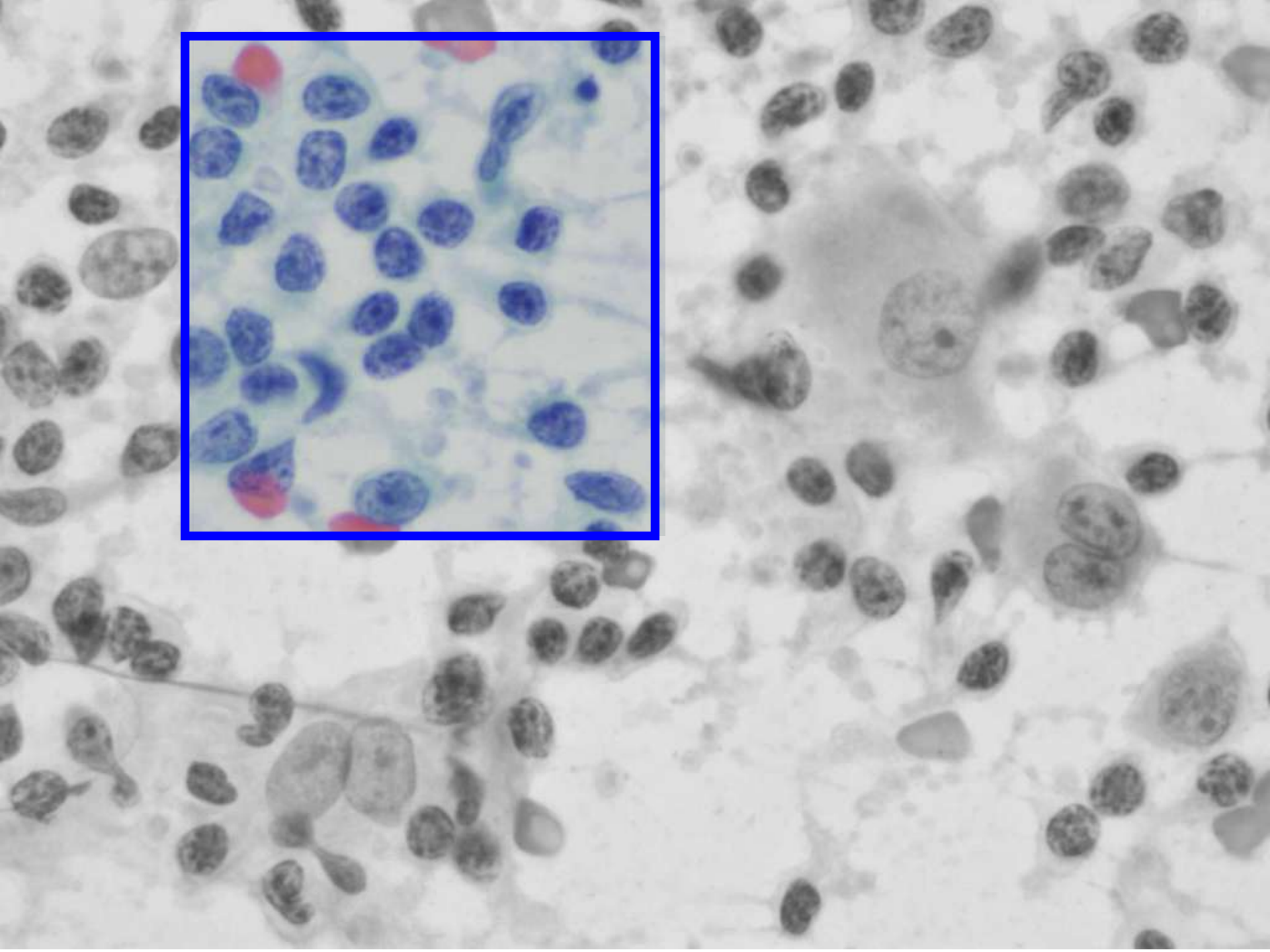
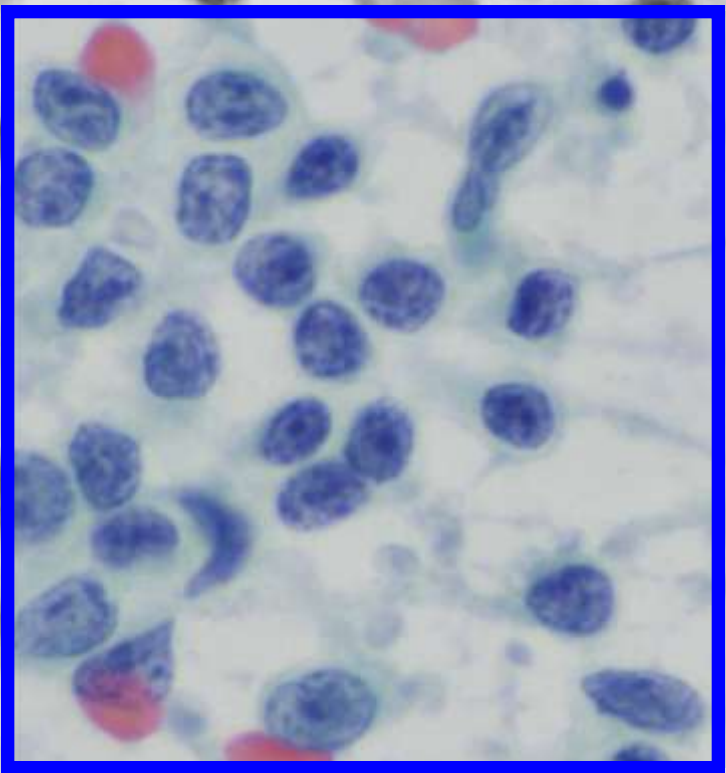
LINFOMA DE HODGKIN

Células de Reed-Sterberg y

Células de Hodgkin

Fondo reactivo





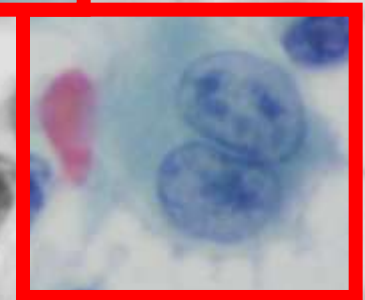
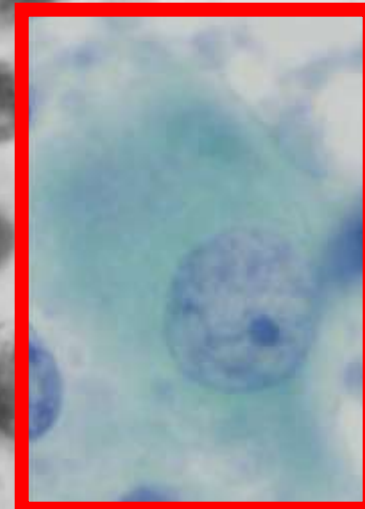
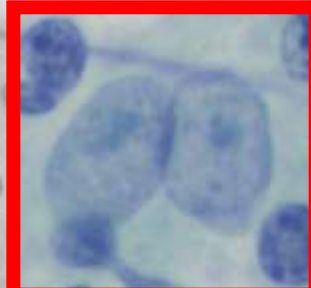
Linfoma de Hodgkin: clasificación de la OMS

- Clásico (~95%):
 - Esclerosis nodular
 - Celularidad mixta
 - Depleción linfocitaria
 - Rico en linfocitos (nodular)
- Predominio linfocítico nodular (~5%)

Das et al. Hodgkin's Lymphoma: Diagnostic Difficulties in Fine-Needle Aspiration Cytology. Diagn. Cytopathol. 2009;37:564–573.

Células de Reed-Sterberg like

- {
- L.N.H.
 - Melanoma
 - Carcinoma
 - Hiperplasia reactiva

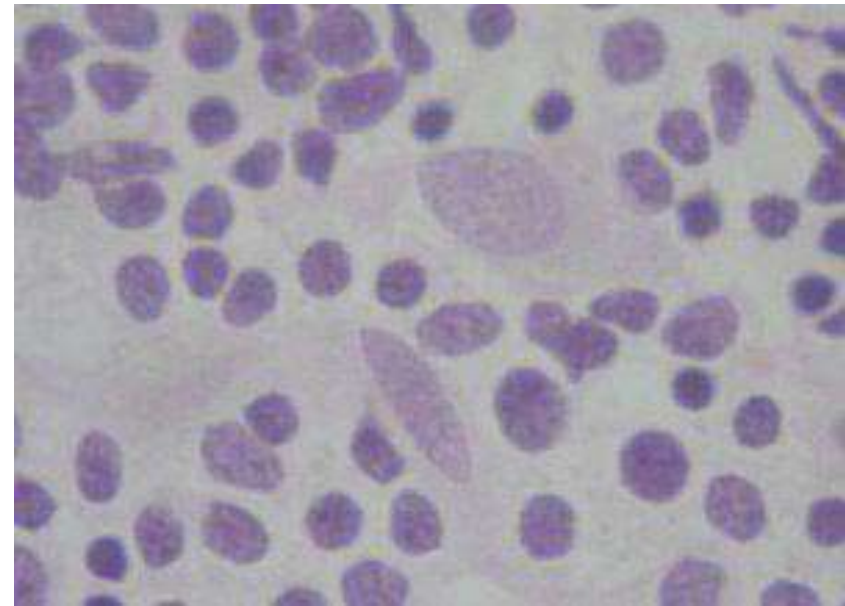
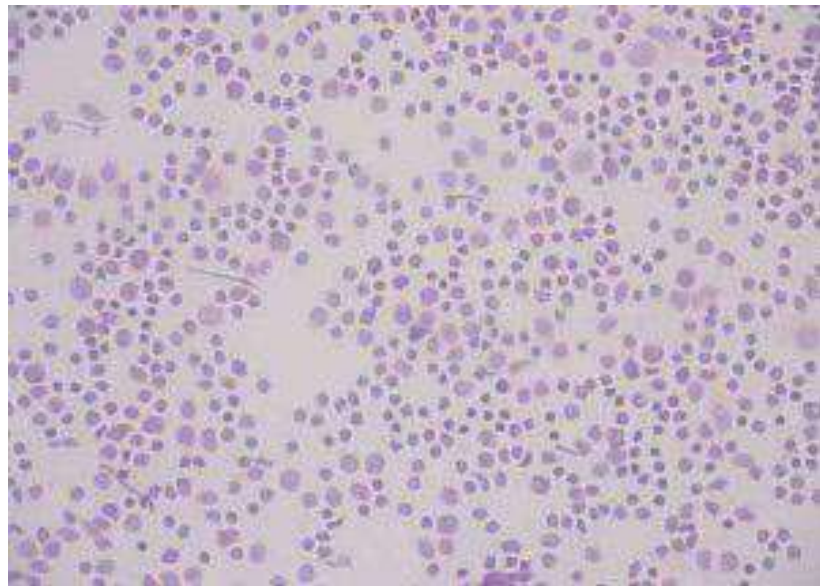


Das et al. Hodgkin's Lymphoma: Diagnostic Difficulties in Fine-Needle Aspiration Cytology. Diagn. Cytopathol. 2009;37:564–573.



1. Linfoma de Hodgkin
2. Linfadenitis granulomatosa
3. Timoma ectópico
4. Linfoma no Hodgkin

Los timomas pueden tener localización ectópica, lo que se explica por una anomalía del descenso, durante su vida embrionaria. Así, pueden ser vistos en: el cuello, tiroides, el pulmón y la pleura. Los timomas ectópicos son propensos a ser confundidos con otros tumores tales como carcinomas o linfomas, es probable que no se piense en ellos.



Chan, J.K. ; Rosai, J. : Tumors of the Neck showing thymic or related branchial pouch differentiation: A unifying concept. Hum. Pathol. 22:349-367. 1991

TIMOMA CERVICAL (ECTÓPICO), RICO EN LINFOCITOS. INMUNOHISTOQUÍMICA Y MICROSCOPIA DE ALTA RESOLUCIÓN. Góngora Jara, Hugo; Diconca, Jorge; Hliba, Ernesto; Ortiz, Susana. IV-CVHAP 2001

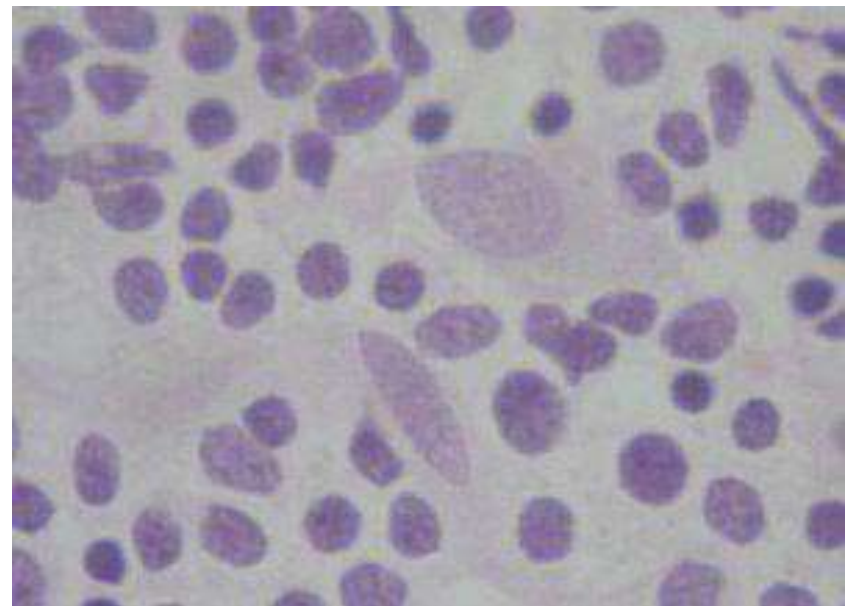
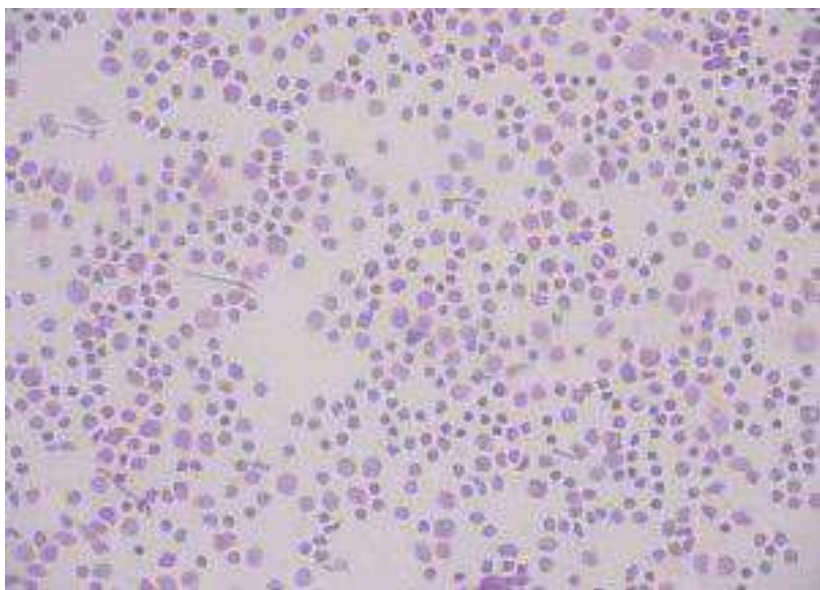
timoma

Población mixta:

Linfoide madura y epitelial

Componente epitelial:

Núcleo anodino y escaso citoplasma mal definido, cuboideo o fusiforme, parecido a los histiocitos, que suelen aparecer en grupos por lo que suelen confundirse con granulomas epiteloides



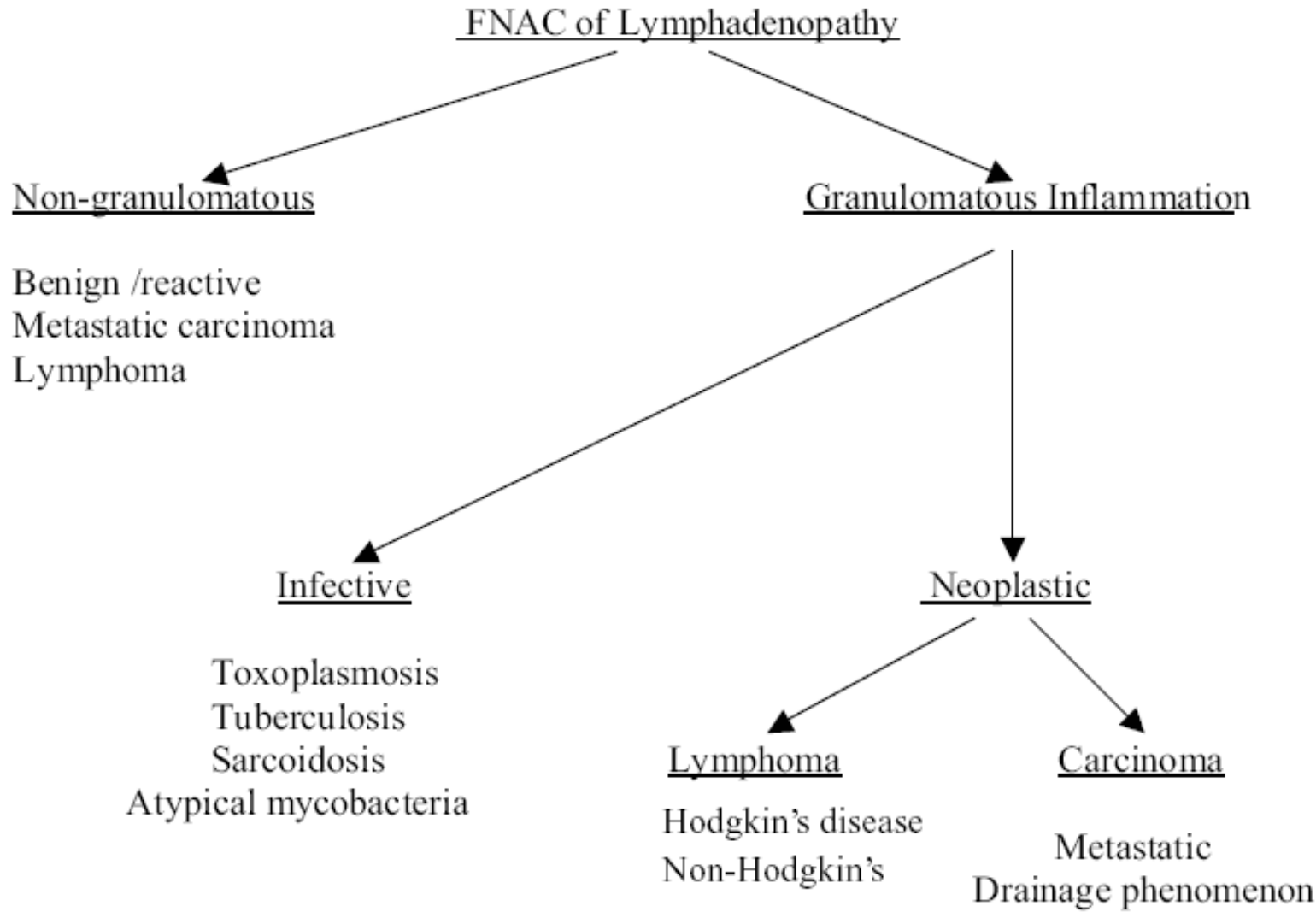
Rodriguez Costa J, De Agustín D..PuncióN AspiracióN con –aguja Fina de órganos superficiales y profundos.Ed. Diaz de Santos. 1997. Madrid



1. Linfoma de Hodgkin
2. **Linfadenitis granulomatosa**
3. Timoma ectópico
4. Linfoma no Hodgkin

ALGORITHM

Aetiologies of lymphadenopathy



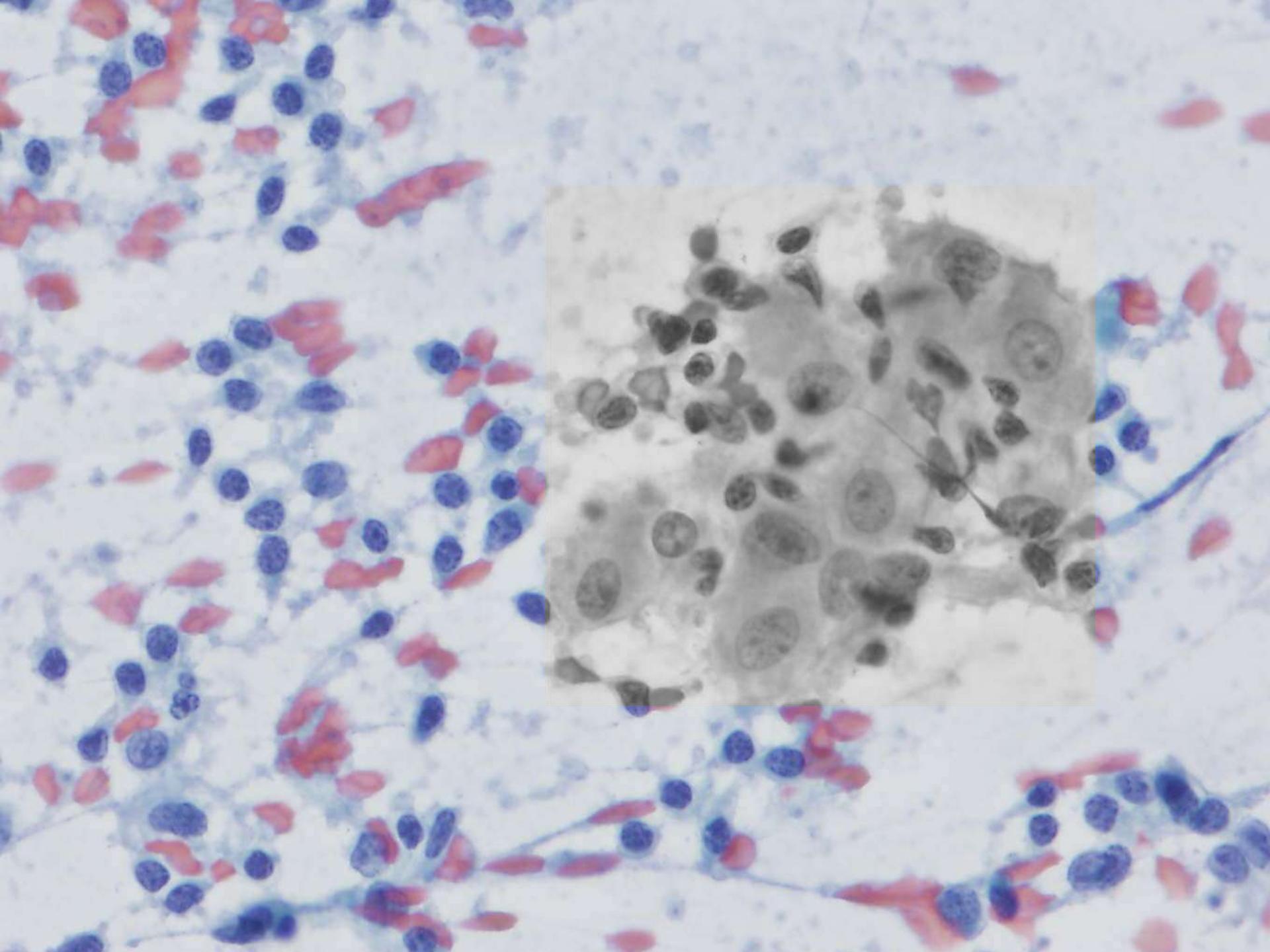
Vaíllo A. et al. Marginal zone B-cell lymphoma of the parotid gland associated with epithelioid granulomas. Report of a case with fine needle aspiration. Acta Cytol. 2004 May-Jun;48(3):420-4.

Laforga J. et al. Splenic marginal B-cell lymphoma with epithelioid granulomas. Report of a case with cytologic and immunohistochemical study. Cancer Therapy Vol 7, 21-26, 2009

GRANULOMAS

2-7% L.N.H.

2-29% L.H.



EFICIENCIA

CITOMETRÍA DE FLUJO



CITOLOGÍA CONVENCIONAL

PROCESO REACTIVO

LNH-B

LNH-T

CITOMETRÍA DE FLUJO



CITOLOGÍA CONVENCIONAL

LH VS PR

Barrena S., Almeida J., García-Macias MC. Flow cytometry immunophenotyping of fine-needle aspiration specimens: utility in the diagnosis and classification of non-Hodgkin lymphomas. Histopathology 2011;1365-2559.

El uso combinado de CF + Citología convencional debería ser obligado para el screening diagnóstico de PAAF, ya que la información de ambas es complementaria y no redundante.

Barrena S., Almeida J.,¹ García-Macias MC. Flow cytometry immunophenotyping of fine-needle aspiration specimens: utility in the diagnosis and classification of non-Hodgkin lymphomas. Histopathology 2011;1365-2559.

Ensani F. et al. Fine-needle aspiration cytology and flow cytometric immunophenotyping in diagnosis and classification of non-Hodgkin lymphoma in comparison to histopathology. Diagn. Cytopathol. 2010

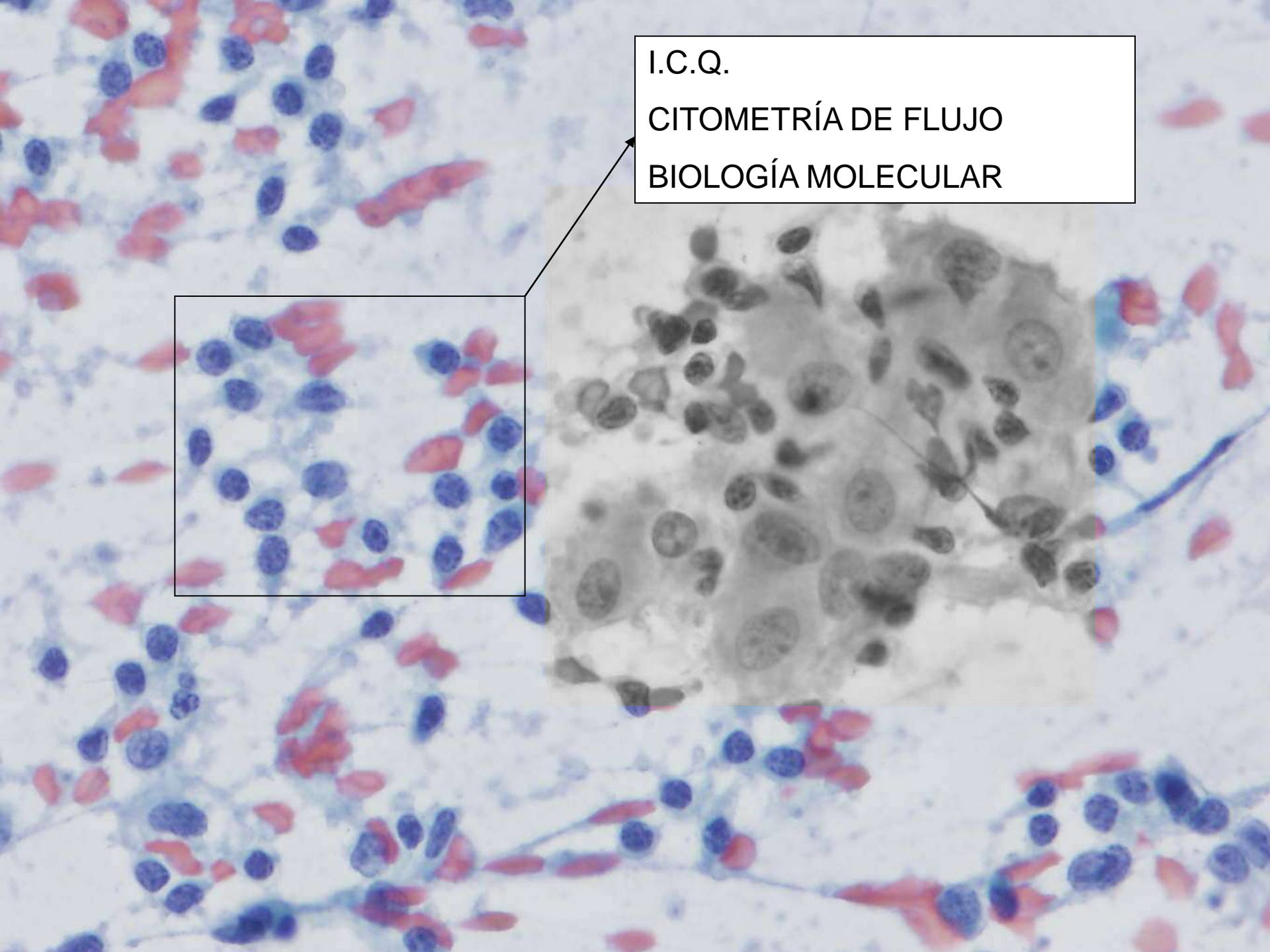
Paro MM. Flow cytometry immunophenotyping (FCI) of fine needle aspirates (FNAs) of lymph nodes. Coll Antropol. 2010 Jun;34(2):359-65

	URV/G DR	Ptas.	TOTAL ptas.
CMF (a)	30	450	13.500
PAAF superficial (b)	8	1.319	10.552
Estudio histológico del ganglio por patólogo (c)	13	1.319	17.147
IHQ/ICQ (d)	5	1.319	6.595
Toma de biopsia por cirujano de lesión superficial (e)	0,0962	424.44 4	40.831

COSTE DE PAAF + CMF = a + b = 24.052 ptas.

COSTE DE BIOPSIA = e + (6*d) + c = 97.548 ptas

Esquivias J, Moreno M.I.; Villar E.; Marcos C.; Ruiz F .Utilización de la citomorfología junto con la citometría de flujo en material obtenido por PAAF en lesiones linfoproliferativas. Comparación de coste frente a la biopsia. Rev.Esp.Patol. 2001;34(3):225-232

A wide-field microscopic image showing a population of blood cells. Some cells have blue-stained nuclei and red-stained cytoplasmic areas, while others are entirely red. A small white square box highlights a group of cells in the upper left quadrant.

I.C.Q.

CITOMETRÍA DE FLUJO
BIOLOGÍA MOLECULAR



Gracias



ZARAGOZA
18 de mayo de 2011